



اندازه‌گیری و بررسی تأثیر ریزه ساخته‌های^(۱) قیر قطران زغال سنگ بر خواص گرافیت هسته‌ای

کاظم فاطمی*، سعید فتووه چیان، فاطمه اهری هاشمی، شکوفه احمدی
مرکز تحقیقات هسته‌ای، سازمان انرژی اتمی ایران، صندوق پستی: ۱۴۱۰۵-۱۳۳۹، تهران - ایران

چکیده: در این کار پژوهشی ریزه ساخته‌ای α , β , γ و α_1 در سه نوع قیر قطران زغال سنگ با ترکیب‌های شیمیایی مختلف اندازه‌گیری شده است، و با استفاده از این قیرها و کک همسانگرد^(۲)، قطعات گرافیت در مقایس آزمایشگاهی ساخته و خواص آنها با انواع گرافیتهای هسته‌ای مقایسه شده است. نتایج این مقایسه‌ها نشان می‌دهند که مقاومت فشاری و چگالی نسبتاً خوبی در این گرافیتهای ایجاد و عامل ناهمسانگردی^(۳) خواص نیز در حدود عدد یک تأمین شده است. ضریب انبساط حرارتی طولی در گرافیتهای حاصل از قیر ایرانی نتایج بهتری را داده که در حد کاربردهای هسته‌ای بوده است. در مجموع، خواص موردنظر در گرافیتهای تولید شده، متأثر از تأثیر ریزه ساخته‌های قیر قطران زغال سنگ است که می‌توان به عنوان نمونه‌ای مناسب برای ساخت گرافیت به کار برد.

واژه‌های کلیدی: قیر قطران زغال سنگ، کک نفتی، گرافیت هسته‌ای، کربنی کردن، صنایع هسته‌ای

Measurement and Investigation of Effects of Coal tar Pitch Fractions in Nuclear Graphite Properties

K. Fatemi*, S. Fatoorehchian, F. Ahari Hashemi, Sh. Ahmadi

Nuclear Research Center, AEOI, P.O.Box: 14155-1339, Tehran - Iran

Abstract: Coal tar pitch has a complex chemical structure. Determination of α , β , γ fractions, is one of the methods to get information about its properties. In graphite fabrication it plays a role as a binder for coke particles. During the thermal treatment it carbonizes and changes to a secondary coke. This has considerable affects on the graphite properties. In this paper, determination of α , β , γ and α_1 fraction in three different types of pitches have been carried out. Graphite specimens have been fabricated by using these pitches and anisotropy coke in laboratory scale. The graphite properties have been compared with the nuclear grade graphite prototype. The comparison of the results showed that the density and compression strength are appreciable while the anisotropy factor of properties is about one. The linear thermal expansion in graphite from Iranian pitch had a better result, where it stands in the nuclear range of usage. As a result, our studies showed that the graphite properties are affected by properties of pitch fractions, where it can be used as a proper sample for the graphite fabrication.

Keywords: coal tar pitch, petroleum coke, nuclear graphite, carbonization, nuclear industry

*email: sfatooreh@scai.neda.net.ir

تاریخ دریافت مقاله: ۱۳۸۱/۶/۲۱ تاریخ پذیرش مقاله: ۱۳۸۱/۱۱/۱۲

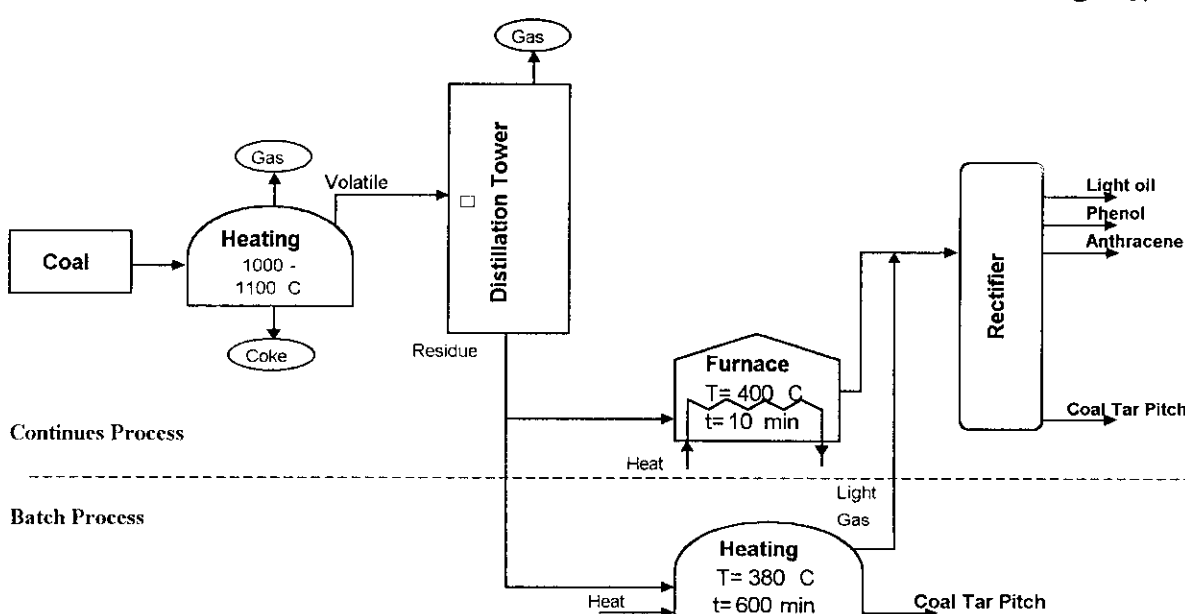
۱- مقدمه

تقطیر برگشت پذیر ریزه های α , β , γ و δ در قیر قطرانهای زغال سنگ تولید شده در پالایشگاه قطران اصفهان، شرکت کربن تک اصفهان و در یک نمونه قیر روسی، که در ساخت گرافیت هسته ای بکار می رود، اندازه گیری شده است. برای تأیید تجربی یافته های پژوهشی، چند سری قطعات گرافیت از قیرهای مناسب ساخته و خواص آنها با گرافیتهای هسته ای مقایسه شده است.

۲- مواد و روشها

۲-۱- فرایند تولید قیر قطران زغال سنگ
قطران از عمل آذر کافت (پیرو لیز)^(۱) زغال سنگ و یا پاره ای از مواد آلی، تولید می شود. نوع قطران بستگی به نوع زغال سنگ، شرایط کربنی شدن^(۲) و مراحل تقطیر دارد [۱]. برای بالابردن چرم مولکولی آن، قطران تولید شده را مدتی طولانی ذخیره کرده، سپس با تقطیر آن قیر قطران زغال سنگ بدست می آورند. قیر حاصل از این فرایند، مخلوط همسانگردی از مولکولهای پلی آروماتیک است که امکان تولید آن از مشتقان نفتی نیز وجود دارد. در صنعت از روش های پیوسته و ناپیوسته^(۳) برای تولید آن استفاده می شود. در شکل ۱ فرایند تولید قیر قطران زغال سنگ به وسیله هر دو روش ارائه شده است.

قیر قطران زغال سنگ که از ترکیبات شیمیایی پیچیده ای تشکیل شده است، یکی از مواد اویلی مهم در صنعت تولید انواع گرافیت، از جمله گرافیت هسته ای محسوب می شود. این ماده به سبب دازابودن خواص مناسب برای تهیه کک قیری، به صورت ماده پیونددهنده^(۴) ذرات کک و پرکننده^(۵) خلل و فرج، در تهیه گرافیت و فرایند چگال سازی آن بکار می رود. برای سهولت شناسایی کاربردهای صنعتی این ماده، آنرا به وسیله سه ریزه ساخت اصلی α , β و γ دسته بندی و تجزیه و تحلیل می نمایند. اهمیت این ریزه ها و ریزه α بدين جهت است که هر یک نقش عمده ای در ایجاد ریز ساختار مواد کربنی شده در فرایند کربنی کردن قیر دارند. نقش این ریزه ها در خواص فیریکی و شیمیایی قیر و در نهایت در خواص گرافیت مورد ارزیابی قرار می گیرد، زیرا اثرهای ناشی از ترکیبات ریزه های قیر در واکنشهای کربنی شدن در مرحله پخت، به گرافیت منتقل می شوند. این اثرها به صورت رفتارهای درشت نما (ماکروسکوپیک) از جمله خواص مکانیکی، الکتریکی، حرارتی در گرافیت قابل بررسی اند. در این بررسیها، با استفاده از عواملی همچون چگالی، ضریب انبساط حرارتی، مقاومت الکتریکی، مدول دینامیکی یانگ، نوع و کاربرد گرافیت مشخص می شود. در این کار پژوهشی، با استفاده از روش های استاندارد و به کمک



شکل ۱- فرایند تولید قیر قطران زغال سنگ

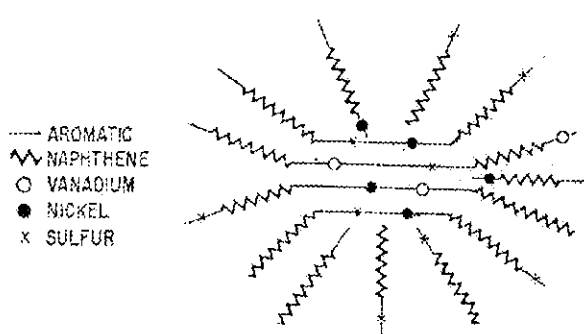


▪ رابطه نقطه نرم شدن قیر با α : نقطه نرم شدن قیر تحت تأثیر ریزه‌ساخت α قرار دارد. با کاهش مواد فرآر در آن دمای نرم شدن قیر افزایش می‌یابد.

▪ ۳-۲- بورسی تأثیر ریزه‌های قیر بر خواص سروافیت ریزه‌های قیر بیشترین تأثیر را بر چگالی گرافیت دارند و اکثر خواص و رفتارهای مکانیکی و الکتریکی گرافیت هم متأثر از چگالی می‌باشد. برخی از عوامل به وجود آورنده خلل و فرجها که بر چگالی گرافیت مؤثرند، بستگی به خارج شدن گوگرد و مواد فرآر از ریزه β دارند.

انقباض و انبساط حرارتی، مقاومت مکانیکی و الکتریکی و همسانگردی گرافیت تا حدودی متأثر از ریزه β و روش شکل‌دهی قطعات گرافیت است. نقص‌های شبکه‌ای "میان فاز" در بلور گرافیت که به هنگام ایجاد نیروهای بین ذرات کک در فرایند ککسازی پدیدار می‌شوند، به طبیعت و رفتار اجزای اصلی تشکیل دهنده قیر مربوطند [۶]. در شکل ۲ ساختار شیمیایی ترکیبات آسفالتی، که ریزه β بخشی از ترکیبات کلوئیدی آنرا تشکیل می‌دهد، نشان داده شده است.

ریزه β با خاصیت ترکنندگی^(۱)، شرایط چسبندگی ذرات کک را بوجود آورده و تبدیل به کک می‌شود، در نتیجه بازده کک شوندگی افزایش می‌یابد. کک حاصل از این فرایند، که بر طبق شکل ۳ انجام می‌گیرد، کک ثانویه نامیده می‌شود. ریزه α خاصیت ترکنندگی ندارد، اما در تبدیل شدن قیر به کک بسیار مؤثر است. این ریزه اجزای α_1 و α_2 را در بردارد که ترکیبات α_2 در کیتوالین محلول بوده و نیروی کشی زیادی به هنگام کک شدن ایجاد می‌کند. با افزودن کربن سیاه (بخشی از ترکیبات α) به مخلوط قیر و کک، می‌توان مقاومت کششی



شکل ۲- ساختار شیمیایی ترکیبات آسفالت

۲-۲- خواص فیزیکی و شیمیایی قیر

هنگام تشکیل قطران علاوه بر ریزه‌ساختهای α و β ، موادی چون خاکه زغال و کربن سیاه نیز تولید می‌شوند. ریزه‌ساخت α از ذرات کروی ناهمسانگردی تشکیل می‌شود که به آنها ذرات کروی میان فاز (مزوفاز) نیز اطلاق می‌شود. میان فاز در واقع مرحله‌ای از فرایند کربنی شدن قیر و حد واسط تبدیل شدن به کک است [۲]. عامل اصلی در تشکیل میان فاز، جدا شدن اتمهای هیدروژن در اثر فرایند چگالش است. با پیشوای این فرایند تا حدود ۴۰٪، ساختار ناهمسانگرد به وجود می‌آید. این ساختار در قیر، در اثر غنی شدن آن از ریزه‌های سنگیتر β ، آشکارتر می‌شود [۳]. ریزه‌های β بخشی از ترکیبات آسفالتیها (هیدروکربن‌های سخت و دیرگداز) هستند که در ریزه α توزیع شده و باعث چسبندگی آن می‌شوند. بخشی از ریزه‌های α به همراه کربن آزاد در قیر، میان مواد نامحلول در کیتوالین (α_1 یا α_2) هستند.

تغییرات گران روی بر حسب QI: تغییرات گران روی

(ویسکوزیته) قیر به نوع میان فاز تشکیل شده بستگی داشته و عموماً در حداقل مقدار گران روی، ذرات کروی میان فاز، که نخستین ساختارهای ناهمسانگرد قیر هستند، به سرعت تشکیل می‌شوند [۳]. چنانچه مقدار QI به صد در صد برسد گران روی به سمت بینهایت میل می‌کند.

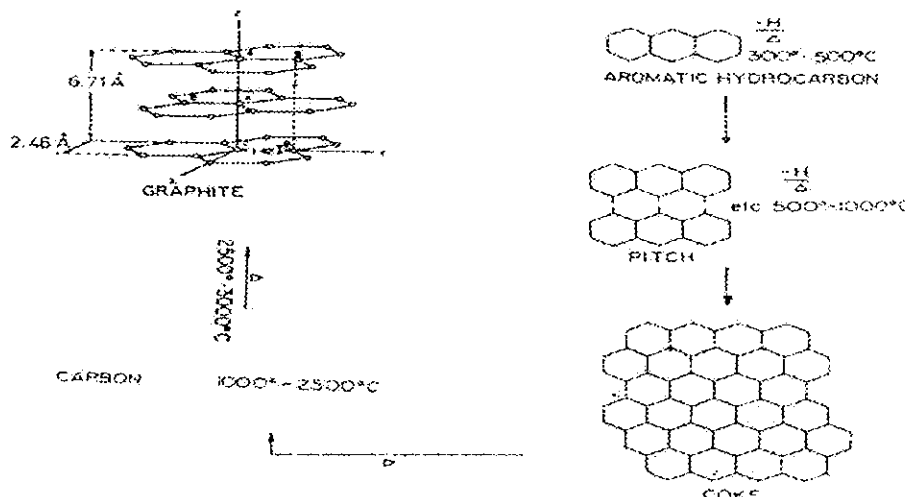
▪ رابطه درصد اتحال قیر با درصد میان فاز: ریزه‌های قیر به

نوع و درصد میان فاز به وجود آمده بستگی دارند [۴].

▪ رابطه درصد ککشوندگی قیر با α_1 : درصد ککشوندگی قیر به درصد مواد نامحلول در کیتوالین بستگی دارد، زیرا ریزه‌های β با احاطه کردن ریزه‌های α_1 سبب جامد شدن و در نتیجه ککشوندگی قیر می‌شوند. در نتیجه می‌توان از آن در ارزیابی مقدار درصد ککشوندگی استفاده کرد [۳].

باقیمانده کربن^(۹)، معروف درصد ککشوندگی قیر است.

مقدار این پارامتر که به درصد α_1 در قیر بستگی دارد، تعیین کننده اندازه انقباض قطعات گرافیت است. چگالی قیر نیز عاملی است که در قابلیت ککشوندگی آن مؤثر است [۵ و ۶].



شکل ۳ - مراحل پyrolyz قیر و تبدیل آن به گرافیت

۱-۳- اندازه گیری ریزه های α ، β ، γ و δ در قیر قطران زغال سنگ
روش تعیین ریزه های تشکیل دهنده قیر قطران زغال سنگ به صورت طرحی ساده در شکل ۴ نشان داده شده است. مقادیر محلولها و شرایط فرایند نیز در این شکل تبیین شده اند. نتایج حاصل از بررسی خواص قیرهای مختلف نیز جدول ۱ مندرج است.

۲-۳- ساختن قطعات گرافیت در آزمایشگاه
برای ساختن قطعات گرافیت، از کک قیری همسانگرد و قیر قطران زغال سنگ به نسبت ۸۰ و ۲۰ درصد استفاده شده است. مواد اویله در دمای بالاتر از نقطه نرم شدن قیر مخلوط شده اند، سپس تعداد شش قطعه استوانه ای شکل به قطر ۴ سانتی متر و ارتفاع تقریباً ۶ سانتی متر به روش قالب گیری تهیه شده است. قطعات خام در مدت ۵۵ ساعت تا دمای ۱۰۰۰ درجه سانتی گراد به آرامی تحت فرایند پخت^(۱۱) قرار گرفته اند. برای ساختن گرافیت، قطعات مورد نظر در کوره الکتریکی تا دمای ۲۵۰۰ درجه سانتی گراد تحت عملیات حرارتی قرار گرفته اند. نتایج ارزیابی خواص این قطعات و مقایسه ویژگی های آنها با چند نوع گرافیت هسته ای در جدول ۲ ارائه شده است.

۴ - بحث و بررسی یافته ها

نتایج مندرج در جداول ۱ و ۲ تأثیر ریزه های قیر را بر تغییرات خواص درشت نمای گرافیتهای ساخته شده نشان

گرافیت را افزایش داد. بررسی های انجام شده بر روی تک بلورهای گرافیت نشان می دهند که مقاومت ویژه گرافیت در جهت عمود بر لایه های آن، تابعی از نوع و کیفیت مواد اویله و پارامترهای فرایند تولید است [۱].

۲-۴- اهمیت گرافیت در صنایع هسته ای

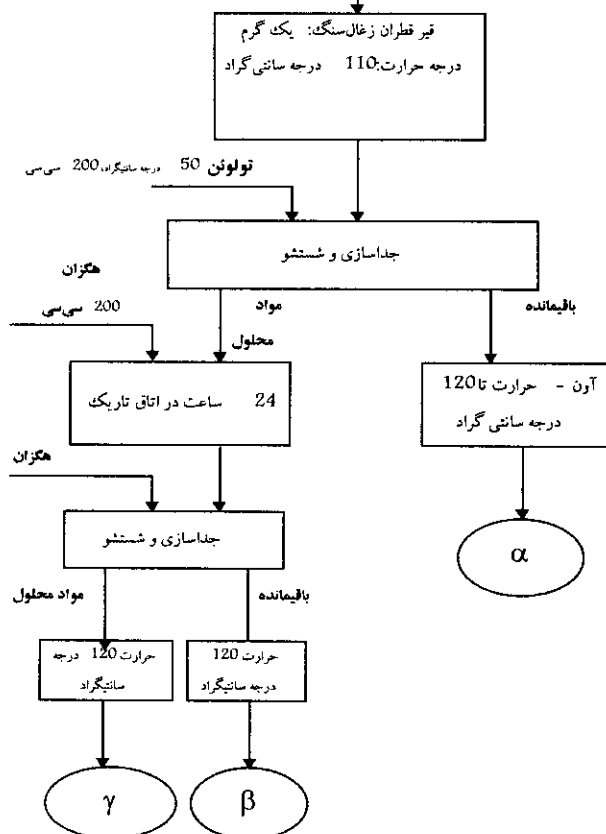
در رآکتورهای هسته ای برای کند کردن نوترون های سریع، که از شکافت هسته اتمهای اورانیوم ۲۳۵ بوجود می آیند، از گرافیت با درجه خلوص و چگالی بالا به عنوان کند کننده و همچنین به عنوان بازتابانده نوترون های سریع به سوی کند کننده استفاده می شود. این خاصیت گرافیت بستگی به تعداد اتمهای کربن در واحد حجم، یعنی چگالی آن دارد و نباید کمتر از مقادیر تعیین شده در طراحی رآکتور باشد. در صنعت هسته ای از گرافیت به صورت غلاف سوخت، حفاظ نوترونی میله های کنترل و محصور کننده قلب برخی از رآکتورها استفاده می شود [۱۶].

۳- کارهای تجربی

فعالیتهای تحقیقاتی انجام شده در "پروژه کربن" به منظور کسب دانش فنی ساخت گرافیت هسته ای، پیش زمینه این پژوهش در رابطه با مواد اویله تولید بوده است.

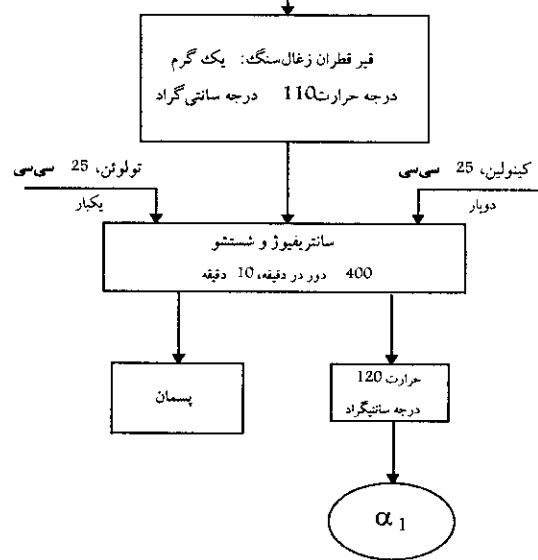


تولومن، ۲۵ سی سی



روش جدازایی ریزه‌های تشکیل‌دهنده قیر قطران زغال‌سنگ

کینولین، ۲۵ سی سی



روش جدازایی مواد نامحلول در کینولین (α_1)

شکل ۴- روش تعیین ریزه‌های تشکیل‌دهنده قیر قطران زغال‌سنگ

جدول ۱- مقایسه پارامترهای اندازه گیری شده توسط تولید کنندگان و پرورده کرین در قیرهای قطران زغال‌سنگ

مشخصات	قیر قطران زغال‌سنگ تولید شده در روسیه، (۱)						قیر قطران زغال‌سنگ تولید شده در اصفهان، (۲)						قیر قطران زغال‌سنگ محصول کرین تک اصفهان، (۳)						قیر قطران زغال‌سنگ مخصوص پالابشگاه اصفهان، (۴)	
	ناتایج پروره کرین	ناتایج تولید کننده	ناتایج تولید کرین	ناتایج پروره کرین	ناتایج تولید کننده	ناتایج تولید کرین	ناتایج پروره کرین	ناتایج تولید کننده	ناتایج تولید کرین	ناتایج پروره کرین	ناتایج تولید کننده	ناتایج تولید کرین	ناتایج پروره کرین	ناتایج تولید کننده	ناتایج تولید کرین	ناتایج پروره کرین	ناتایج تولید کننده	ناتایج تولید کرین	ناتایج پروره کرین	
نقطه نرم شدن، $^{\circ}\text{C}$	۹۸	۹۹	۱۱۰-۱۱۸	۱۱۸/۵	۹۶/۰	۹۱/۲	۹۱/۲	-	-	-	-	-	-	-	-	-	-	-	-	-
چگالی، gr/cm^3	۱/۴۲	۱/۳۰	۱/۲-۱/۳	-	۱/۳۰	۱/۲۹	۱/۲۹	-	-	-	-	-	-	-	-	-	-	-	-	-
مقدار درصد α	۳۲/۲	۳۱-۳۲	۳۵-۴۰	۳۱/۲	۲۷/۰	۲۵/۸	۲۵/۸	-	-	-	-	-	-	-	-	-	-	-	-	-
مقدار درصد β	-	۲۲/۲	-	۲۲/۴	۲۲/۳	۲۲/۴	۲۲/۴	-	-	-	-	-	-	-	-	-	-	-	-	-
مقدار درصد γ	-	۴۰/۳	-	۴۱/۷	۵۰/۷	۵۰/۷	۵۰/۷	-	-	-	-	-	-	-	-	-	-	-	-	-
مقدار درصد α_1	۱۱/۴۰	۱۰/۸	۱۲-۱۴	۷/۱۰	۵/۰	۶/۰۸	۶/۰۸	-	-	-	-	-	-	-	-	-	-	-	-	-
مقدار درصد مواد فرآور	-	۵۷/۹۶	-	۵۶/۹۰	۵۶/۰	۶۳/۳۰	۶۳/۳۰	-	-	-	-	-	-	-	-	-	-	-	-	-
مقدار درصد خاکستر	۰/۲۵	۰/۱۱	۰/۰۰	۰/۲۰	۰/۱۳	۰/۱۳۰	۰/۱۳۰	-	-	-	-	-	-	-	-	-	-	-	-	-
مقدار درصد سمانتاسیون	-	۱۱/۹۱	-	۶/۹	۱۱/۹۰	۱۰/۸۰	۱۰/۸۰	-	-	-	-	-	-	-	-	-	-	-	-	-
مقدار درصد یاقیناندۀ کک	۴۴/۷	۴۴/۴	-	۴۷/۶	۴۴/۰	۴۴/۴	۴۴/۴	-	-	-	-	-	-	-	-	-	-	-	-	-
درجه زاویه تماس	-	۱۶۰	-	۱۷۲	۱۱۰	۱۳۱	۱۳۱	-	-	-	-	-	-	-	-	-	-	-	-	-

جدول ۲ - مقایسه ویژگیهای انواع گرافیت تولید شده در پروژه کربن با چند نوع گرافیت هسته ای

جهت بلور	ρ $\mu\Omega\text{m}$	E GPa	α $\text{K}^{-1}\text{A}^{-1}$	λ W/m.K	σ_{Bend} MPa	σ_{Comp} MPa	چگالی gr/cm^3	انواع گرافیت تولید شده با مواد اولیه مختلف
موازی عمود	۴۱/۳۹ ۳۳/۲۶	۴/۲۰ ۴/۰۹۷	۶/۹۰ ۶/۳۵	۳۸/۰ ۴۱/۶۹	۸/۰۲ ۱۳/۱۱	۲۹/۹۹ ۳۱/۹۲	۱/۰۳۱	کک قیری و قیر قطران زغال سنگ روی پالایشگاه قطران اصفهان
موازی عمود	۲۶/۲۳ ۲۰/۰۰	۴/۱ ۵/۲۷	۶/۲۴ ۳/۶۹	۰۲/۱۷ ۶۲/۹۲	۸/۱۰ ۱۱/۸۱	۲۶/۱۱ ۲۸/۶۳	۱/۰۰۳	
موازی عمود	۲۱/۰۶ ۱۹/۷۳	۷/۰۸ ۸/۰۲	۶/۱۲ ۳/۷۴	۵۶/۲۶ ۶۲/۹۷	۱۶/۱۳ ۱۸/۴۳	۴۰/۶۹ ۴۷/۰۷	۱/۶۳۶	کک قیری روی و قیر قطران زغال سنگ روی پالایشگاه قطران اصفهان
موازی عمود	۲۹/۱۴ ۲۴/۴	۸/۱۴ ۱۰/۴۴	۶/۱۷ ۳/۹۳	۵۱/۶۶ ۵۶/۸۴	۲۲/۲۷ ۲۷/۷۸	۶۷/۰ ۶۴/۸۰	۱/۷۰۴	
موازی عمود	۲۲/۷۵ ۲۳/۰۷	۷/۰۷ ۷/۹۴	۳/۳۴ ۴/۰۳	۶۶/۷۱ ۶۹/۰۸	۲۰/۰ ۲۲/۴۱	۵۳/۵۳ ۵۱/۳۷	۱/۷۸۸	گرافیت روی، نوع GRP۲
موازی عمود	۱۵/۲۴ ۱۴/۰۴	۱۰/۴۸ ۱۲/۴۶	۳/۸۰ ۳/۶۰	- -	۲۲/۹۰ ۲۸/۲۵	۶۸/۹۰ ۶۶/۶۲	۱/۷۸۰	
موازی عمود	۸/۰ ۱۰	۱۲/۰ ۸/۰	۳/۹ ۰/۲	۱۶۰ ۱۰۰	۳۵ ۲۰	۶۰ -	۱/۸۳	گرافیت آمریکایی، نوع AJT
موازی عمود	۱۱ ۱۴	۱۰ ۸	۲/۳ ۳/۴	۱۲۰ ۹۰	۲۸ ۲۴	۵۸ ۶۰	۱/۷۵	گرافیت آمریکایی، نوع AGOT
موازی عمود	۸ ۱۰	۱۰/۰ ۷/۷	۲/۲ ۳/۸	۱۵۰ ۱۱۰	۱۸ ۱۴	۴۲ ۴۲	۱/۷۳	گرافیت ژاپن، نوع IG-۱۱۰
موازی عمود	۱۱/۰ -	۱۰/۰ -	۳/۹ ۴/۶	۱۳۱ ۱۲۳	۴۸ -	۷۰ ۸۰	۱/۷۶	گرافیت ژاپن، نوع IG-۱۱۰

σ_{Bend} : مقاومت مکانیکی شکست
 σ_{Comp} : مقاومت مکانیکی فشاری

α : ضریب انبساط خطی حرارتی
 λ : ضریب هدایت حرارتی

ρ : ضریب مقاومت الکتریکی
E: مدول دینامیکی یانگ

می دهد. ریزه α_1 نیز در این افزایش مؤثر است. این اثر در قیر شماره ۳ بیشتر نمودار است. نتایج مندرج در جدول ۱، تنها در مورد قیر شماره ۲ نشان می دهند که با کاهش درصد α_2 درصد سماتاسیون در آن کاسته شده، اما درصد کک شوندگی افزایش یافته است. ارزیابی نتایج نشان می دهد که بیشترین ناهمانگی در خواص قیرها، مربوط به قیر شماره ۲ (محصول کربن تک) است. پس از بررسیهای ماکروسکوپی اجزای تشکیل دهنده قیرها و خواص آنها، تجزیه و تحلیل ریزه ساخته ها در یک نمونه قیر روی صورت گرفته (جدول ۳) که در توجیه بسیاری از نتایج مندرج در جدول ۱ مؤثر بوده است.

نتایج آزمونهای غیر مخرب از جمله در موارد چگالی، مقاومت حرارتی، مقاومت الکتریکی، مدول دینامیکی یانگ و ضریب انبساط حرارتی مربوط به گرافیتهای ساخته شده از قیرهای

می دهند. مشخصات دیگری که در جدول ۱ ارائه شده اند، انتخاب قیر مناسب را برای تولید گرافیت هسته ای ممکن می سازند. مقایسه و تطبیق این نتایج تجربی با جنبه های نظری، صحبت و دقیق روشهای آزمایشگاهی را مشخص نموده و شناخت منابع خطرا میسر کرده است.

نتایج جدول ۱ نشان می دهند که مقدار مواد فرار با افزایش مقدار ریزه α در قیر کاهش می یابد، اما مقدار درصد خاکستر قیر با مقدار درصد این ریزه رابطه مستقیم داشته و این ارتباط در مورد قیر شماره ۲ بیشتر دیده می شود. برای توجیه این موارد می توان جرم مولکولی بالای ریزه α و ساختار متفاوت قیرها را در نظر گرفت. ارتباط مقدار درصد سماتاسیون قیرهای مختلف با مقدار درصد ریزه قیرها را می توان به وضوح ملاحظه کرد. مقدار درصد α در قیر، بر افزایش نقطه نرم شدن آن تأثیر مستقیمی را نشان



نوع قیر = $T_{sp} = 145^{\circ}\text{C}$ (نقطه نرم شدن)										نوع قیر = $T_{sp} = 140^{\circ}\text{C}$ (نقطه نرم شدن)
درصد هیدروژن	وزن مولکولی	درصد کربن	چگالی (gr/cm³)	درصد مواد فرار	درصد هیدروژن	وزن مولکولی	درصد کربن	چگالی (gr/cm³)	درصد مواد فرار	
۲/۰۸	۹۳۰	۹۳/۲	۱/۳۸	۱۴/۷	۲/۰	۸۹۰	۹۲/۰	۱/۳۸	۱۷/۵	α
۴/۲۷	۵۲۰	۹۲/۱	۱/۲۸	۶۶/۷	۴/۶	۴۸۶	۹۰/۸	۱/۲۸	۵۰/۲	β
۴/۸۱	۲۹۰	۹۲/۴۶	۱/۲۱	۹۴/۰	۵/۴۳	۲۴۴	۹۰/۹۲	۱/۱۱۸	۹۶/۲	γ

تولید گرافیت هسته‌ای به کار می‌رود، نزدیک است و می‌توان آنرا در صنعت ساخت گرافیت هسته‌ای به کار برد. در مواردی هم درصد سماناتاسیون بهتری را نشان می‌دهد، به طوری که گرافیتهای تهیه شده با آن در مقایسه با گرافیتهای تهیه شده از قیر روسی، مقاومت پیشتری در مقابل فشارهای بالا دارند.

- ضریب انبساطهای حرارتی گرافیتهای تهیه شده با قیرهای مختلف به هم نزدیک و با گرافیتهای هسته‌ای نام برده شده در جدول قابل مقایسه‌اند.

- از لحاظ ضریب مقاومت الکتریکی، گرافیتهای تهیه شده با قیر ایرانی در مقایسه با گرافیتهای حاصل از قیر روسی بهترند، ولی در مقایسه با گرافیتهای هسته‌ای چندان مناسب نیستند.

- چگالی گرافیتهای تهیه شده با قیر ایرانی در مقایسه با چگالی گرافیتهای حاصل از قیر روسی بهتر و به چگالی گرافیتهای هسته‌ای آمریکایی و زاپنی نزدیک و در مواردی هم بالاتر است.

- مقاومت شکست گرافیتهای تهیه شده از هر دو نوع قیر، به جز نوع زاپنی، با بقیه موارد تطابق کامل دارد.

- این گرافیتها از جنبه بلوری بودن، تقریباً همسانگرد بوده و نسبت ناهمسانگردی در آنها نزدیک به عدد یک تأمین شده است.

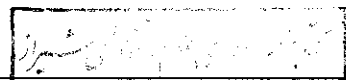
- از نظر هدایت حرارتی، گرافیتهای تهیه شده از هر دو نوع قیر در مقایسه با گرافیتهای هسته‌ای نتایج ضعیفتری نشان می‌دهند.

شماره ۱ و ۳، در جدول ۲ ارائه و با خواص چند نوع گرافیت هسته‌ای مقایسه شده است.

مقایسه نتایج حاکی از این است که گرافیتهای تهیه شده با قیر ایرانی در مقابل فشار، مقاومت نسبتاً خوبی نسبت به قیر روسی و در مقایسه با بعضی از گرافیتهای هسته‌ای نشان می‌دهد. کیفیت مدلول دینامیکی یانگ نیز برای گرافیتهای تهیه شده با قیر ایرانی نسبت به قیر روسی بهتر و در حد کیفیت گرافیتهای هسته‌ای است؛ اما مقاومت الکتریکی گرافیتهای تهیه شده با هر دو نوع قیر که اصولاً بایستی پایین باشد، در مقایسه با گرافیتهای هسته‌ای قدری بیشتر و در گرافیتهای حاصل از قیر روسی مقادیر کمتری ملاحظه می‌شود. چگالی گرافیتهای تهیه شده، در حلة قابل قبول گرافیتهای هسته‌ای است. ضریب انبساط حرارتی در گرافیتهای تهیه شده، که برای کاربردهای هسته‌ای نباید از 10^{-5} K^{-1} بیشتر باشد در خیلی از موارد با استانداردهای لازم مطابقت دارد. نسبت ضریب‌های انبساط حرارتی در دو جهت موازی و عمود لایه‌های بلور گرافیت، که به عنوان ضریب ناهمسانگردی تعریف می‌شود، چنانچه به عدد یک نزدیک باشد گرافیت همسانگرد بوده و برای کاربردهای حساس هسته‌ای مناسب است. در گرافیتهای ساخته شده این نسبت حدود 0.1 ± 1 بدست آمده است.

۴- نتیجه‌گیری

ارزیابی نتایج کارهای تجربی این پژوهش نشان می‌دهد که کیفیت قیر ایرانی شماره ۳، به کیفیت قیر شماره ۱ روسی، که در



شان می‌دهد که قیر شماره ۳ را که در پالایشگاه قطران اصفهان تولید می‌شود، می‌توان به عنوان ماده اولیه در ساخت گرافیت هسته‌ای به کار برد.

- خاصیت مدول دینامیکی یانگ هم در گرافیتهای تهیه شده از قیر ایرانی بالاتر از گرافیتهای تهیه شده از قیر روسی بوده و به خواص گرافیتهای هسته‌ای نزدیکتر است. این نتایج

پی‌نوشت‌ها:

α : Toluene Insoluble
 β : Hexane Insoluble
 γ : Hexane Soluble
 α_1 : Quinoline Insoluble(QI)

۱ - Fractions	۷ - Carbonization
۲ - Isotropic	۸ - Batch
۳ - Anisotropic factor	۹ - Carbon residue
۴ - Binding	۱۰ - Wetting power
۵ - Filler	۱۱ - Baking process
۶ - Pyrolysis	

References:

- 1.1. قریب، م. مددی، س. فستوره‌چیان، ش. احمدی، "گزارش امکان‌سننجی تولید گرافیت هسته‌ای،" مرکز پژوهشی انرژی اتمی ایران (۱۳۷۵).
2. A. P. Thrower, Chemistry and Physics of Carbon, **24**, Marcel Dekker (1994).
3. A. P. Thrower, Chemistry and Physics of Carbon, **26**, Marcel Dekker (1999).
4. G. Savage, "Carbon - carbon composites," Chapman and Hall (1993).
5. L. M. Currie, "The production and properties of graphite for reactor," Proceeding of the first united nations international conference on peaceful use of atomic energy, Geneva, **8** (1955).
6. W. Delle, K. Koizlik, H. Nickel, "Graphitic materials for use in nuclear reactors," Karl Thiemic AG, Germany (1983).